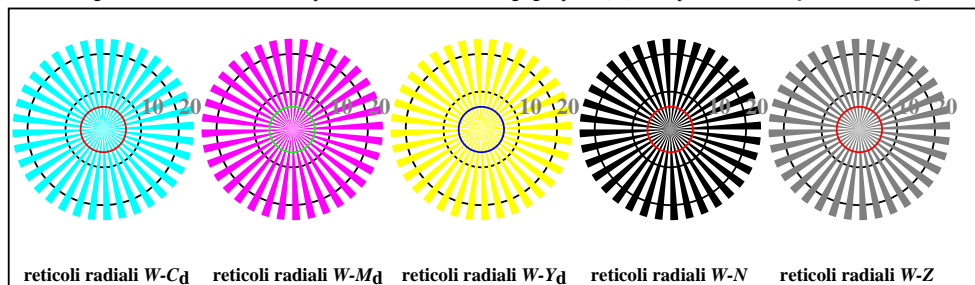


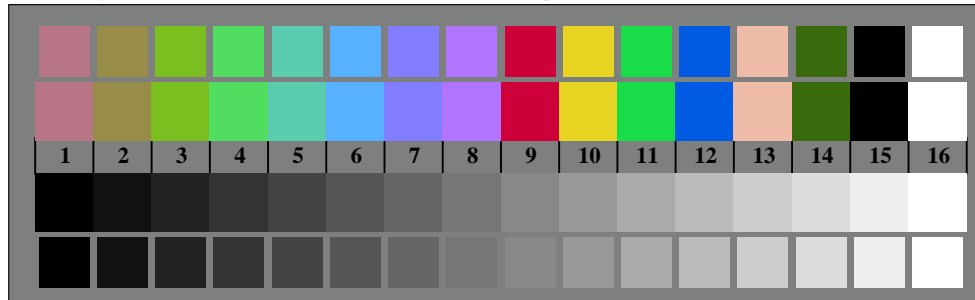


AI280-3, Fig. B1Wdd: Flower motif, 14 prova colori CIE e 2 + 16 grigio passi (nf); PS operator: settransfer, 3 colorimage



reticolli radiali W-Cd reticolli radiali W-Md reticolli radiali W-Yd reticolli radiali W-N reticolli radiali W-Z

AI280-5, Fig. B2Wdd: reticolli radiali W-Cd; W-Md; W-Yd; W-N; PS operator: rgb->rgb\_dd setrgbcolor

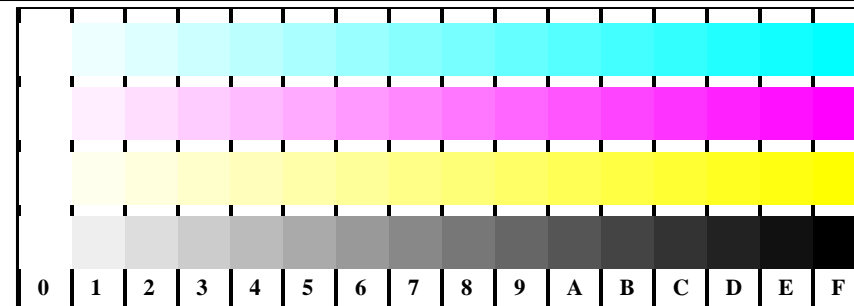


AI280-7, Fig. B3Wdd: 14 prova colori CIE i 2 + 16 grigio passi (sf); rgb/cmy0->rgb\_dd setrgbcolor

Grafico AI28 conformemente a grafico 2 a ISO/IEC 15775  
 Tavola dei colori cromatici CMYK

iscrizione TUB: 20190301-AI28/AI28L0FA.TXT/.PS  
 Application per la misurazione e la visualizzazione dell'output su display e stampa

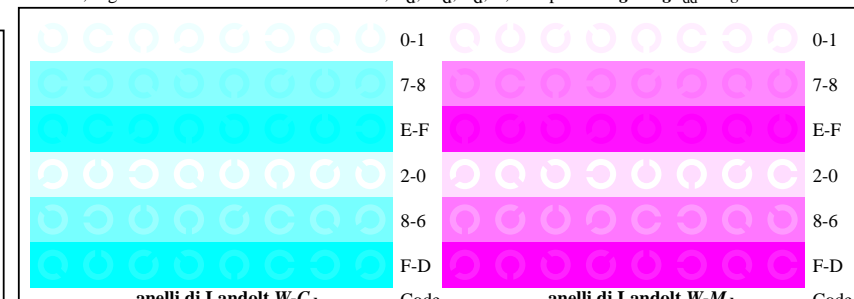
TUB materiale: code=rha4ta  
 M



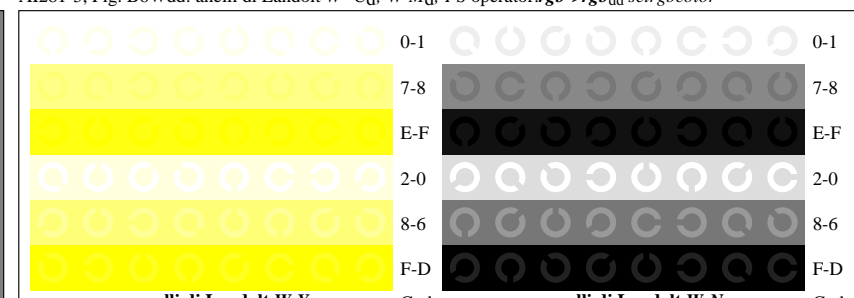
AI281-1, Fig. B4Wdd: 16 equidistante passi W-Cd; W-Md; W-Yd; W-N; rgb/cmy0->rgb\_dd setrgbcolor

++..	C	lmno	pqrs	tuvw
xyz;	C	hijk	lmno	pqrss
tuvw	C	defg	hijk	lmno
pqrs	C	!abc	defg	defg
lmno	C	+-..	+-..	+-..
hijk	C	xyz;	xyz;	xyz;
defg	C	tuvw	tuvw	tuvw
!abc	C	pqrs	defg	defg
10	N	lmno	!abc	!abc
	N	hijk	defg	defg
	N	defg	!abc	!abc
	N	!abc	defg	defg
	N	10	N	N
			CdMdYdZ	CdMdYdZ
			6	6
			N CdMdYdZ	N CdMdYdZ

AI281-3, Fig. B5Wdd: codice i Landolt anelli N; Cd; Md; Yd; Z; PS operator: rgb->rgb\_dd setrgbcolor



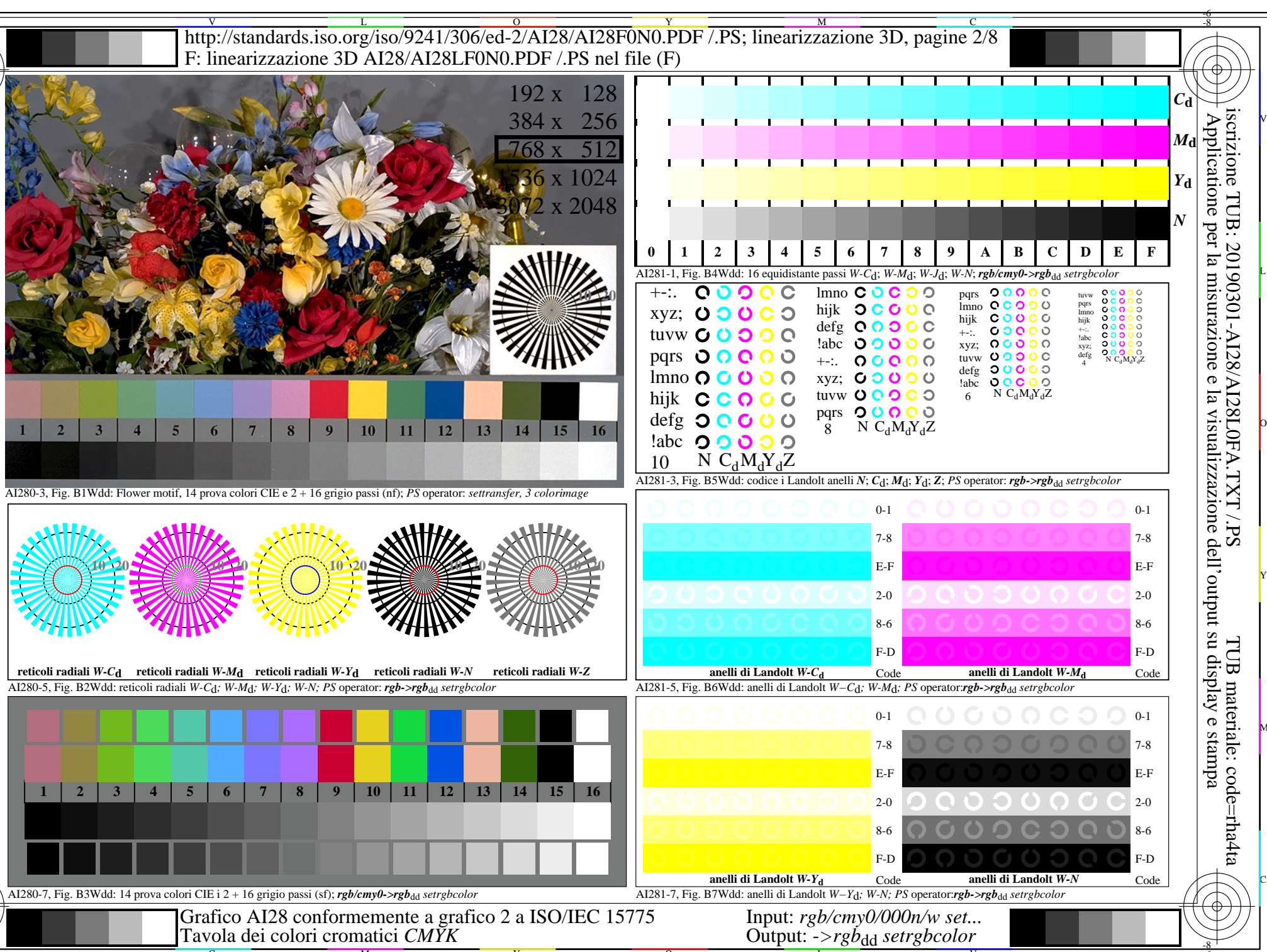
AI281-5, Fig. B6Wdd: anelli di Landolt W-Cd; W-Md; PS operator:rgb->rgb\_dd setrgbcolor



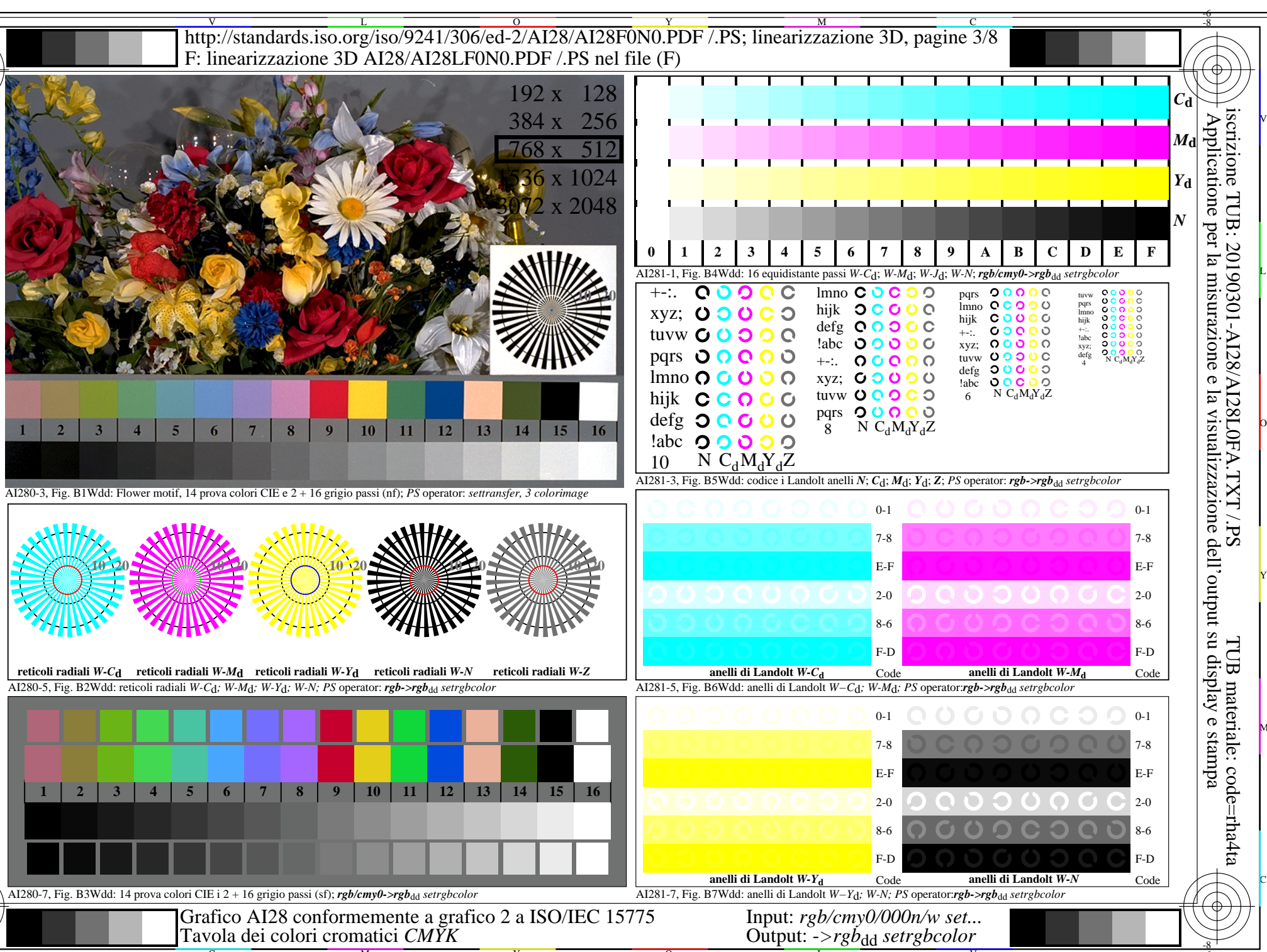
AI281-7, Fig. B7Wdd: anelli di Landolt W-Yd; W-N; PS operator:rgb->rgb\_dd setrgbcolor

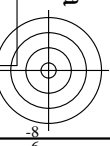
Input: rgb/cmy0/000n/w set...  
 Output: ->rgb\_dd setrgbcolor

vedi file simili: <http://standards.iso.org/iso/9241/306/ed-2/AI28/AI28L0FA.TXT>  
 informazioni tecniche: <http://farbe.li.tu-berlin.de/> o <http://farbe.li.tu-berlin.de/AE.HTM>



vedi file simili: <http://standards.iso.org/iso/9241/306/ed-2/AI28/AI28L0FA.TXT>  
 informazioni tecniche: <http://farbe.li.tu-berlin.de/> o <http://farbe.li.tu-berlin.de/AE.HTM>



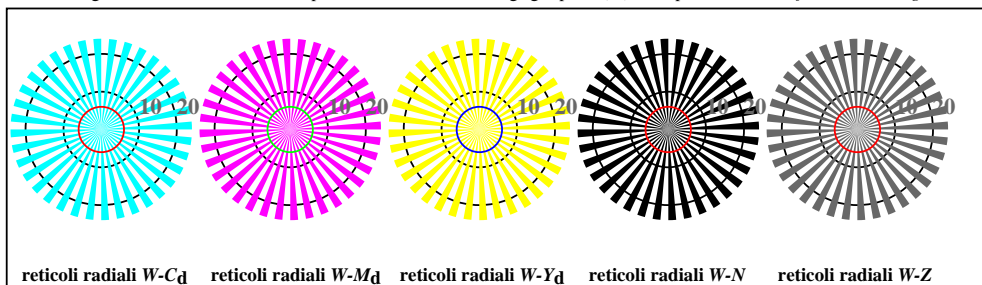


C<sub>d</sub>  
M<sub>d</sub>  
Y<sub>d</sub>  
N

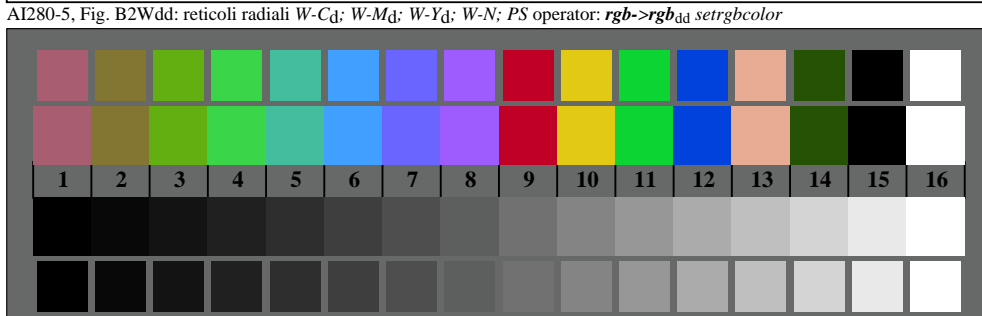
-8  
-6



AI280-3, Fig. B1Wdd: Flower motif, 14 prova colori CIE e 2 + 16 grigio passi (nf); PS operator: settransfer, 3 colorimage



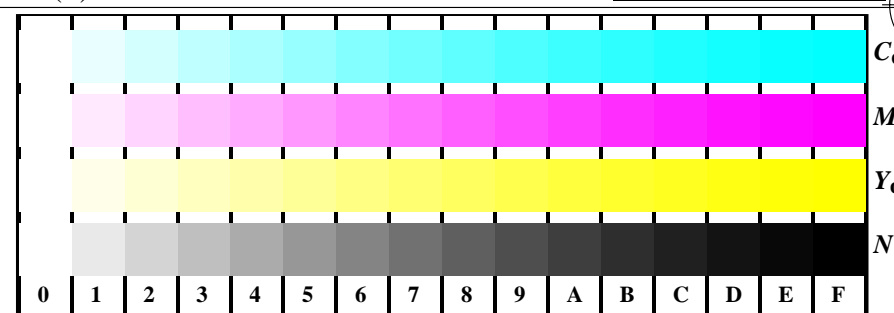
reticolli radiali W-Cd reticolli radiali W-Md reticolli radiali W-Yd reticolli radiali W-N reticolli radiali W-Z



AI280-7, Fig. B3Wdd: 14 prova colori CIE i 2 + 16 grigio passi (sf); rgb/cmy0->rgb<sub>dd</sub> setrgbcolor

Grafico AI28 conformemente a grafico 2 a ISO/IEC 15775  
Tavola dei colori cromatici CMYK

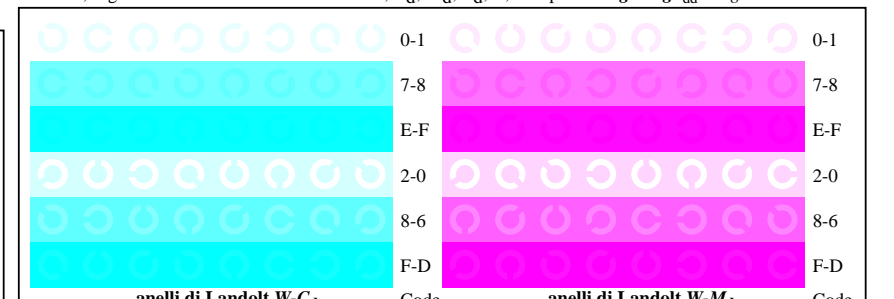
C M Y N



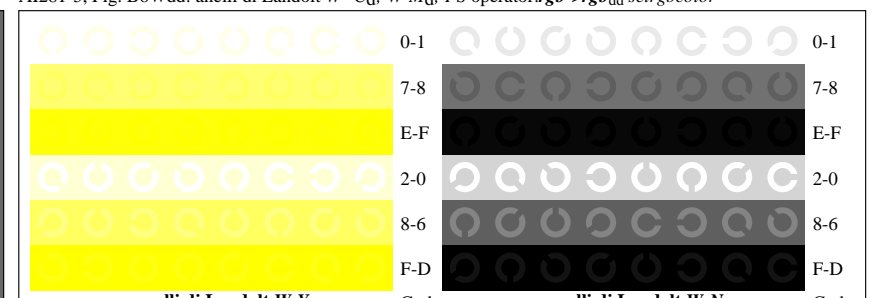
AI281-1, Fig. B4Wdd: 16 equidistante passi W-C<sub>d</sub>; W-M<sub>d</sub>; W-Y<sub>d</sub>; W-N; rgb/cmy0->rgb<sub>dd</sub> setrgbcolor

++..	C	lmno	pqrs	tuvw
xyz;	C	hijk	lmno	pqrs
tuvw	C	defg	hijk	lmno
pqrs	C	!abc	defg	xyz;
lmno	C	+-..	!abc	tuvw
hijk	C	xyz;	+-..	defg
defg	C	tuvw	xyz;	!abc
!abc	C	pqrs	defg	defg
10	N C <sub>d</sub> M <sub>d</sub> Y <sub>d</sub> Z	8	N C <sub>d</sub> M <sub>d</sub> Y <sub>d</sub> Z	4 N C <sub>d</sub> M <sub>d</sub> Y <sub>d</sub> Z

AI281-3, Fig. B5Wdd: codice i Landolt anelli N; C<sub>d</sub>; M<sub>d</sub>; Y<sub>d</sub>; Z; PS operator: rgb->rgb<sub>dd</sub> setrgbcolor



AI281-5, Fig. B6Wdd: anelli di Landolt W-C<sub>d</sub>; W-M<sub>d</sub>; PS operator:rgb->rgb<sub>dd</sub> setrgbcolor



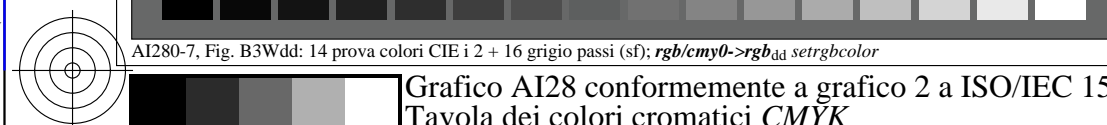
AI281-7, Fig. B7Wdd: anelli di Landolt W-Y<sub>d</sub>; W-N; PS operator:rgb->rgb<sub>dd</sub> setrgbcolor

Input: rgb/cmy0/000n/w set...  
Output: ->rgb<sub>dd</sub> setrgbcolor

C M Y N

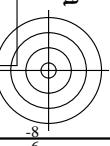
CYN5 (36:1); gP=1,000; gN=1,290

http://standards.iso.org/iso/9241/306/ed-2/AI28/AI28F0N0\_CYN5\_1.PDF /PS



C M Y N

AI28/AI28L0NA.PDF /PS4/8, rgb/cmy0/000n/w->rgb<sub>dd</sub>

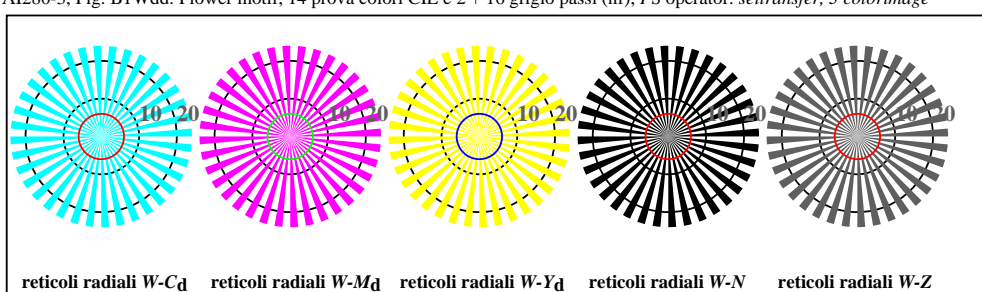


C<sub>d</sub>  
M<sub>d</sub>  
Y<sub>d</sub>  
N

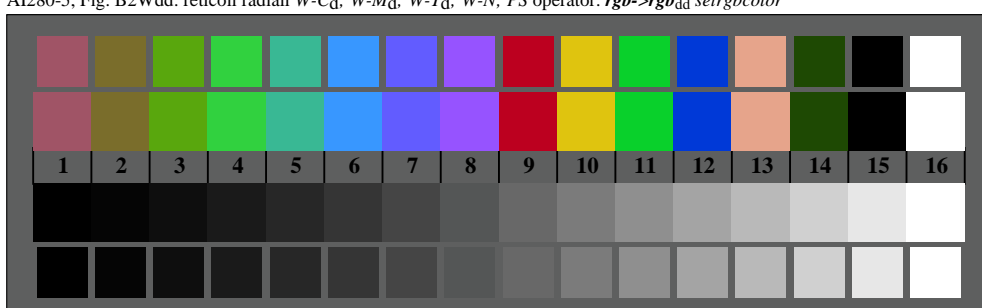
-8  
-6



vedi file simili: <http://standards.iso.org/iso/9241/306/ed-2/AI28/AI28L0FA.HTM>  
informazioni tecniche: <http://farbe.li.tu-berlin.de/> o <http://farbe.li.tu-berlin.de/AE.HTM>



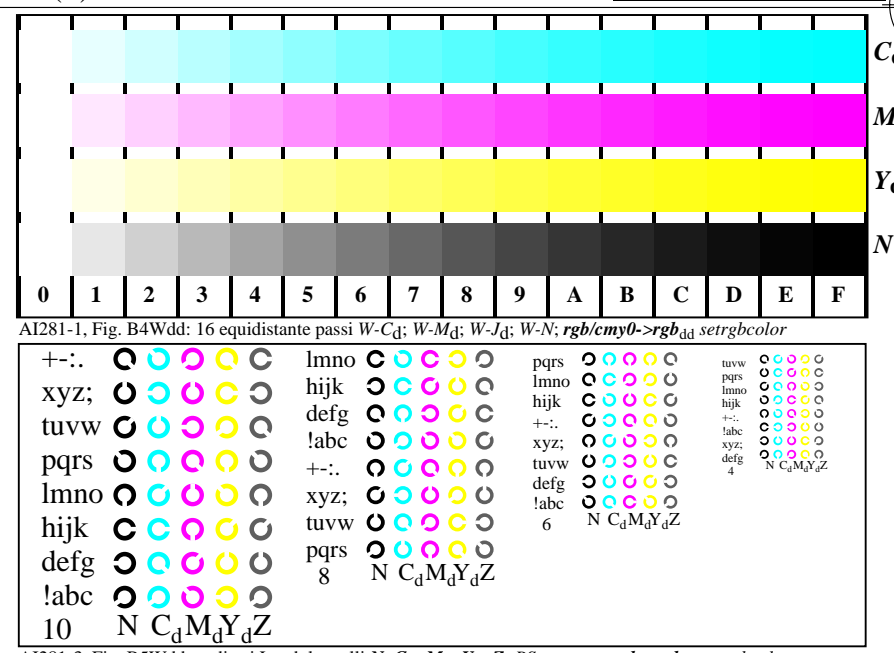
AI280-5, Fig. B2Wdd: reticolli radiali W-C<sub>d</sub>; W-M<sub>d</sub>; W-Y<sub>d</sub>; W-N; PS operator:  $rgb \rightarrow rgb_{dd}$  setrgbcolor



AI280-7, Fig. B3Wdd: 14 prova colori CIE i 2 + 16 grigio passi (sf);  $rgb/cm\text{y}0 \rightarrow rgb_{dd}$  setrgbcolor

Grafico AI28 conformemente a grafico 2 a ISO/IEC 15775  
Tavola dei colori cromatici CMYK

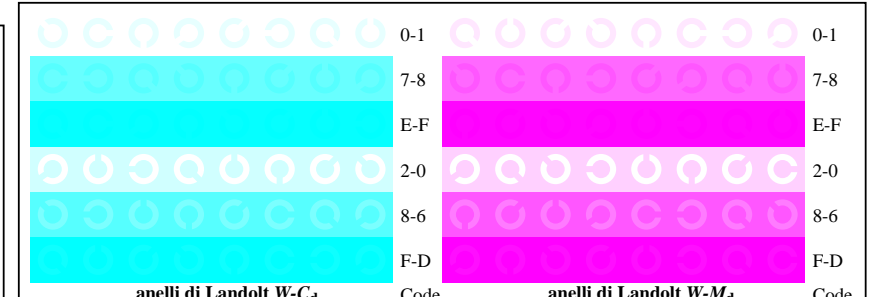
C M Y L O V N



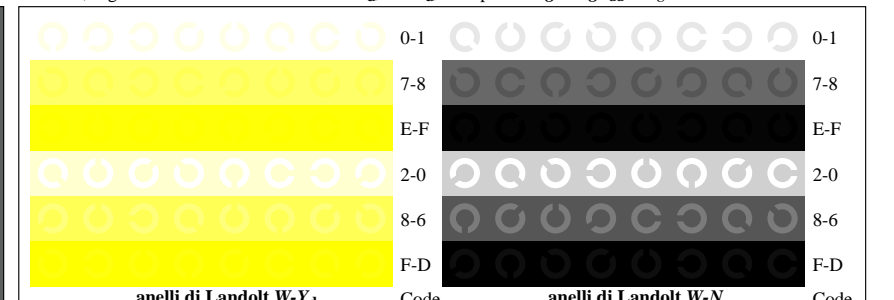
AI281-1, Fig. B4Wdd: 16 equidistante passi W-C<sub>d</sub>; W-M<sub>d</sub>; W-Y<sub>d</sub>; W-N;  $rgb/cm\text{y}0 \rightarrow rgb_{dd}$  setrgbcolor

tuvw	○	○	○	○	○	○	○	○	○	○	○	○	○	○	○	○
pqrs	○	○	○	○	○	○	○	○	○	○	lmno	○	○	○	○	○
lmno	○	○	○	○	○	○	○	○	○	○	hijk	○	○	○	○	○
hijk	○	○	○	○	○	○	○	○	○	○	defg	○	○	○	○	○
defg	○	○	○	○	○	○	○	○	○	○	!abc	○	○	○	○	○
!abc	○	○	○	○	○	○	○	○	○	○	xyz;	○	○	○	○	○
xyz;	○	○	○	○	○	○	○	○	○	○	tuvw	○	○	○	○	○
tuvw	○	○	○	○	○	○	○	○	○	○	defg	○	○	○	○	○
defg	○	○	○	○	○	○	○	○	○	○	!abc	○	○	○	○	○
!abc	○	○	○	○	○	○	○	○	○	○	10	N	C <sub>d</sub> M <sub>d</sub> Y <sub>d</sub> Z			

AI281-3, Fig. B5Wdd: codice i Landolt anelli N; C<sub>d</sub>; M<sub>d</sub>; Y<sub>d</sub>; Z; PS operator:  $rgb \rightarrow rgb_{dd}$  setrgbcolor



AI281-5, Fig. B6Wdd: anelli di Landolt W-C<sub>d</sub>; W-M<sub>d</sub>; PS operator:  $rgb \rightarrow rgb_{dd}$  setrgbcolor

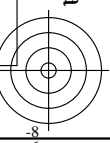


AI281-7, Fig. B7Wdd: anelli di Landolt W-Y<sub>d</sub>; W-N; PS operator:  $rgb \rightarrow rgb_{dd}$  setrgbcolor

Input:  $rgb/cm\text{y}0/000n/w$  set...  
Output:  $\rightarrow rgb_{dd}$  setrgbcolor



-8  
-6

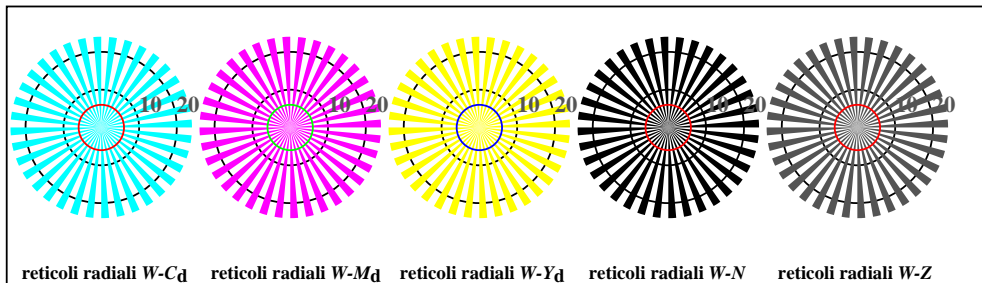


C<sub>d</sub>  
M<sub>d</sub>  
Y<sub>d</sub>  
N

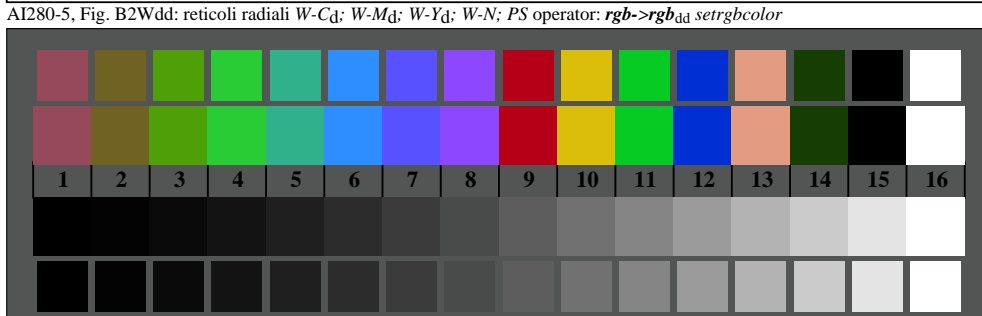
-8  
-6  
-4  
-2  
0  
2  
4  
6  
8



AI280-3, Fig. B1Wdd: Flower motif, 14 prova colori CIE e 2 + 16 grigio passi (nf); PS operator: settransfer, 3 colorimage



reticolli radiali W-C<sub>d</sub> reticolli radiali W-M<sub>d</sub> reticolli radiali W-Y<sub>d</sub> reticolli radiali W-N reticolli radiali W-Z

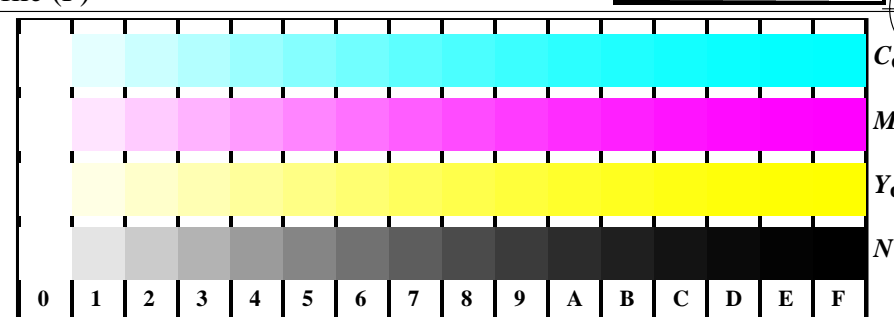


AI280-7, Fig. B3Wdd: 14 prova colori CIE i 2 + 16 grigio passi (sf);  $rgb/cm\text{y}0->rgb_{dd}$  setrgbcolor

Grafico AI28 conformemente a grafico 2 a ISO/IEC 15775  
Tavola dei colori cromatici CMYK

C<sub>d</sub>  
M<sub>d</sub>  
Y<sub>d</sub>  
N

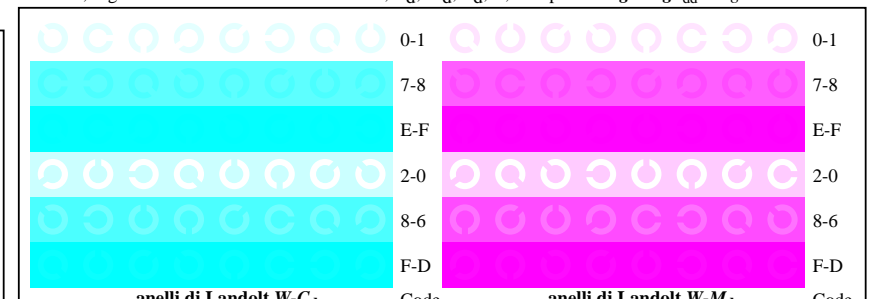
-8  
-6  
-4  
-2  
0  
2  
4  
6  
8



AI281-1, Fig. B4Wdd: 16 equidistante passi W-C<sub>d</sub>; W-M<sub>d</sub>; W-Y<sub>d</sub>; W-N;  $rgb/cm\text{y}0->rgb_{dd}$  setrgbcolor

++..	C	lmno	0	tuvw	tuvw
xyz;	C	hijk	0	pqrw	pqrw
tuvw	C	defg	0	lmno	lmno
pqrs	C	!abc	0	hijk	hijk
lmno	C	+-.	0	+-.	+-.
hijk	C	xyz;	0	xyz;	xyz;
defg	C	tuvw	0	tuvw	tuvw
!abc	C	pqrs	0	defg	defg
10	N	lmno	0	6	N C <sub>d</sub> M <sub>d</sub> Y <sub>d</sub> Z
	N	hijk	0		
	N	defg	0		
	N	!abc	0		
	N	10	0		N C <sub>d</sub> M <sub>d</sub> Y <sub>d</sub> Z

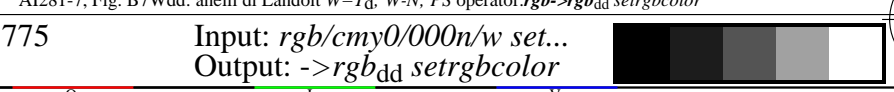
AI281-3, Fig. B5Wdd: codice i Landolt anelli N; C<sub>d</sub>; M<sub>d</sub>; Y<sub>d</sub>; Z; PS operator:  $rgb->rgb_{dd}$  setrgbcolor



AI281-5, Fig. B6Wdd: anelli di Landolt W-C<sub>d</sub>; W-M<sub>d</sub>; PS operator:  $rgb->rgb_{dd}$  setrgbcolor

0-1	0-1	0-1
7-8	7-8	7-8
E-F	E-F	E-F
2-0	2-0	2-0
8-6	8-6	8-6
F-D	F-D	F-D
anelli di Landolt W-C <sub>d</sub>	Code	anelli di Landolt W-M <sub>d</sub>
anelli di Landolt W-Y <sub>d</sub>	Code	anelli di Landolt W-N

AI281-7, Fig. B7Wdd: anelli di Landolt W-Y<sub>d</sub>; W-N; PS operator:  $rgb->rgb_{dd}$  setrgbcolor



Input:  $rgb/cm\text{y}0/000n/w$  set...  
Output:  $->rgb_{dd}$  setrgbcolor

-8  
-6  
-4  
-2  
0  
2  
4  
6  
8

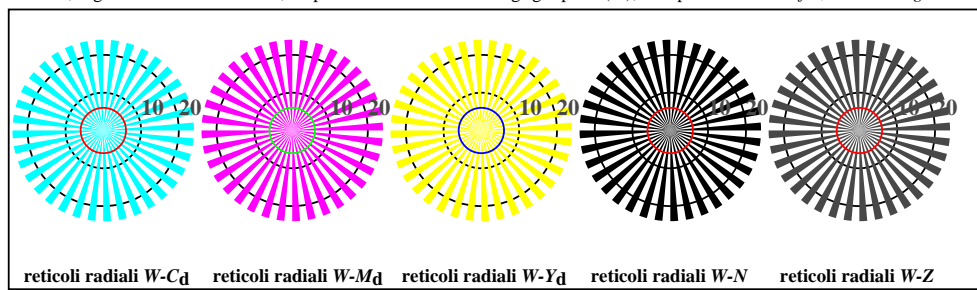


C

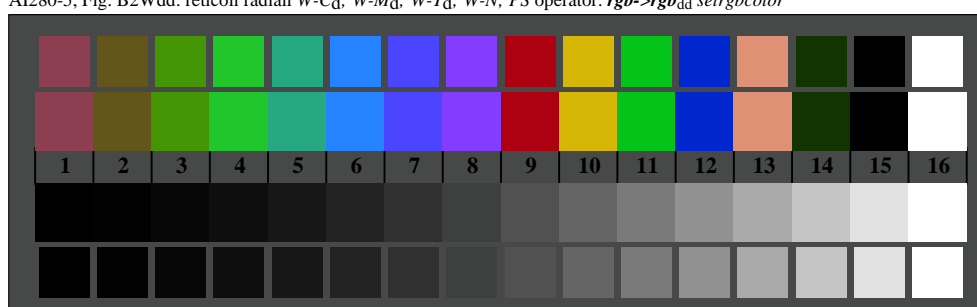
<http://standards.iso.org/iso/9241/306/ed-2/AI28/AI28F0N0.PDF/.PS>; linearizzazione 3D, pagine 7/8  
F: linearizzazione 3D AI28/AI28LF0N0.PDF/.PS nel file (F)



AI280-3, Fig. B1Wdd: Flower motif, 14 prova colori CIE e 2 + 16 grigio passi (nf); PS operator: settransfer, 3 colorimage



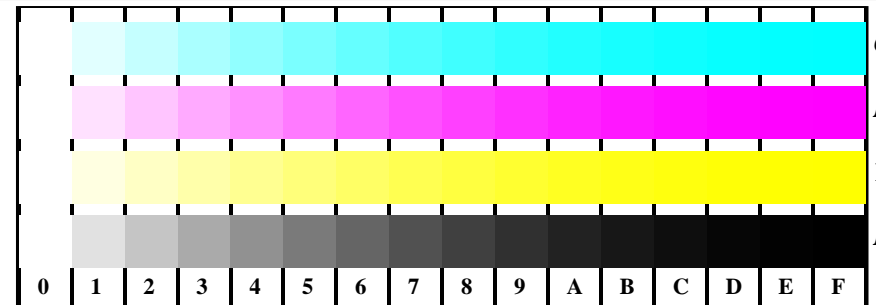
reticolli radiali W-Cd reticolli radiali W-Md reticolli radiali W-Yd reticolli radiali W-N reticolli radiali W-Z



AI280-7, Fig. B3Wdd: 14 prova colori CIE i 2 + 16 grigio passi (sf);  $rgb/cmby0->rgb_{dd}$  setrgbcolor

Grafico AI28 conformemente a grafico 2 a ISO/IEC 15775  
Tavola dei colori cromatici CMYK

C M Y L O V N



AI281-1, Fig. B4Wdd: 16 equidistante passi  $W-C_d$ ;  $W-M_d$ ;  $W-Y_d$ ;  $W-N$ ;  $rgb/cmby0->rgb_{dd}$  setrgbcolor

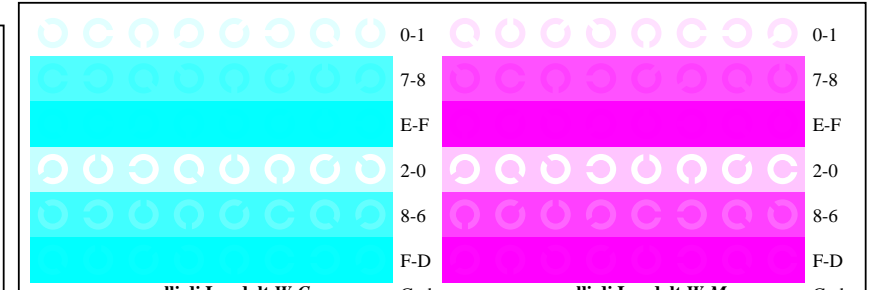
++..															
xyz;															
tuvw															
pqrs															
lmno															
hijk															
defg															
!abc															
xyz;															
tuvw															
pqrs															
lmno															
hijk															
defg															
!abc															
6															
10															
N															

tuvw  
pqrs  
lmno  
hijk  
+-.  
xyz;  
tuvw  
defg  
!abc  
6  
N

$C_d$   
 $M_d$   
 $Y_d$   
 $N$

$N C_d M_d Y_d Z$

AI281-3, Fig. B5Wdd: codice i Landolt anelli N;  $C_d$ ;  $M_d$ ;  $Y_d$ ;  $Z$ ; PS operator:  $rgb->rgb_{dd}$  setrgbcolor



AI281-5, Fig. B6Wdd: anelli di Landolt  $W-C_d$ ;  $W-M_d$ ; PS operator:  $rgb->rgb_{dd}$  setrgbcolor

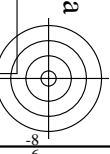


AI281-7, Fig. B7Wdd: anelli di Landolt  $W-Y_d$ ;  $W-N$ ; PS operator:  $rgb->rgb_{dd}$  setrgbcolor

Input:  $rgb/cmby0/000n/w$  set...  
Output:  $->rgb_{dd}$  setrgbcolor

C M Y L O V N

C M Y L O V N



C<sub>d</sub>  
M<sub>d</sub>  
Y<sub>d</sub>  
N

Y  
M  
C

-8  
-6  
-4  
-2  
0  
2  
4  
6  
8



http://standards.iso.org/iso/9241/306/ed-2/AI28/AI28F0N0.PDF /.PS; linearizzazione 3D, pagine 8/8

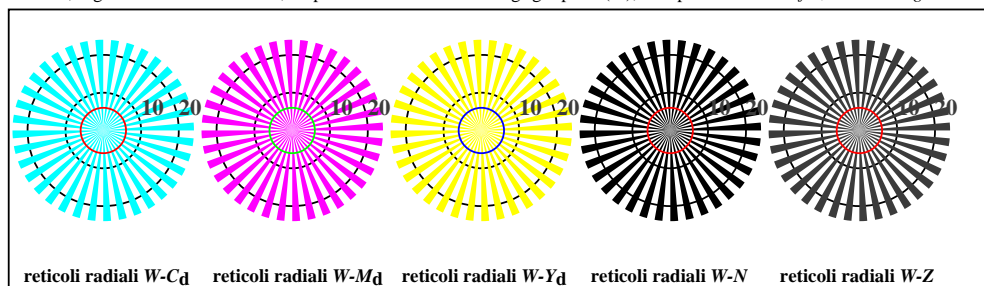
F: linearizzazione 3D AI28/AI28LF0N0.PDF /.PS nel file (F)



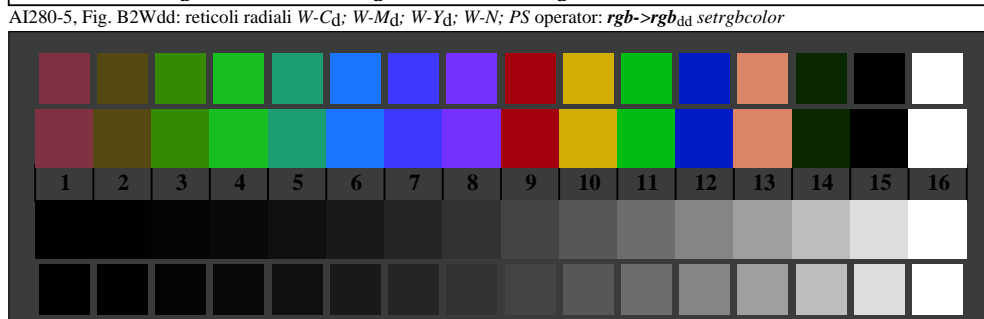
192 x 128  
384 x 256  
768 x 512  
1536 x 1024  
3072 x 2048



AI280-3, Fig. B1Wdd: Flower motif, 14 prova colori CIE e 2 + 16 grigio passi (nf); PS operator: settransfer, 3 colorimage



reticolli radiali W-Cd reticolli radiali W-Md reticolli radiali W-Yd reticolli radiali W-N reticolli radiali W-Z



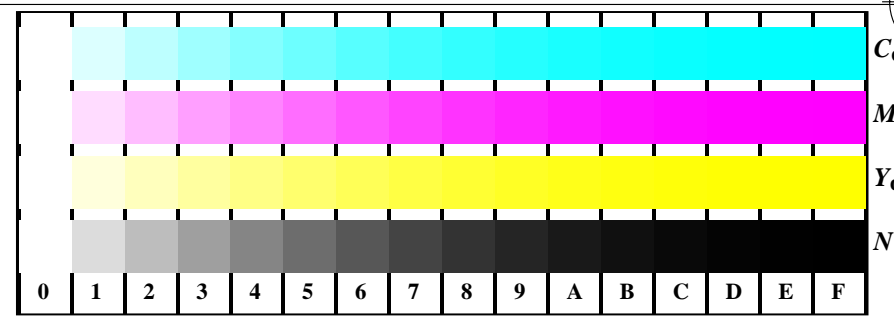
AI280-7, Fig. B3Wdd: 14 prova colori CIE i 2 + 16 grigio passi (sf);  $rgb/cm\text{y}0->rgb_{dd}$  setrgbcolor

Grafico AI28 conformemente a grafico 2 a ISO/IEC 15775  
Tavola dei colori cromatici CMYK

C<sub>d</sub>  
M<sub>d</sub>  
Y<sub>d</sub>  
N

Y  
M  
C

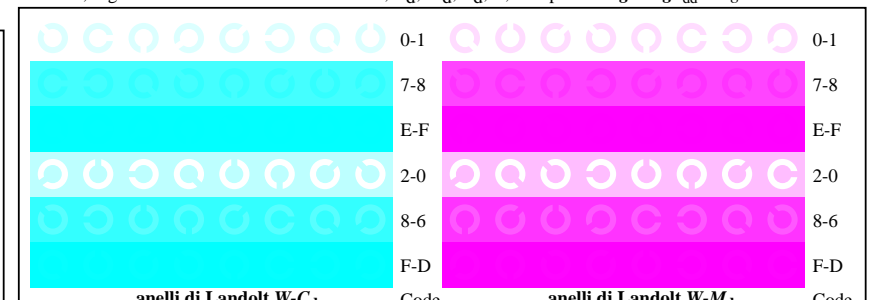
-8  
-6  
-4  
-2  
0  
2  
4  
6  
8



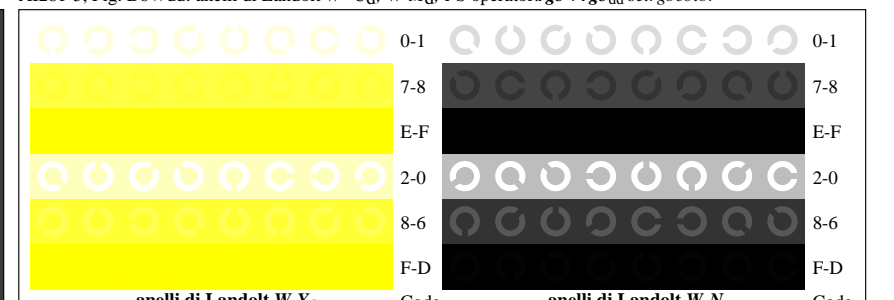
AI281-1, Fig. B4Wdd: 16 equidistante passi W-C<sub>d</sub>; W-M<sub>d</sub>; W-Y<sub>d</sub>; W-N;  $rgb/cm\text{y}0->rgb_{dd}$  setrgbcolor

++..	C	lmno	pqrs	tuvw
xyz;	C	hijk	lmno	lmno
tuvw	C	defg	hijk	pqrz
pqrs	C	!abc	defg	lmno
lmno	C	+-.	+-.	hijk
hijk	C	xyz;	xyz;	+-.
defg	C	tuvw	tuvw	xyz;
!abc	C	pqrs	defg	tuvw
10	N C <sub>d</sub> M <sub>d</sub> Y <sub>d</sub> Z	8	N C <sub>d</sub> M <sub>d</sub> Y <sub>d</sub> Z	defg
	N C <sub>d</sub> M <sub>d</sub> Y <sub>d</sub> Z		6	N C <sub>d</sub> M <sub>d</sub> Y <sub>d</sub> Z

AI281-3, Fig. B5Wdd: codice i Landolt anelli N; C<sub>d</sub>; M<sub>d</sub>; Y<sub>d</sub>; Z; PS operator:  $rgb->rgb_{dd}$  setrgbcolor



AI281-5, Fig. B6Wdd: anelli di Landolt W-C<sub>d</sub>; W-M<sub>d</sub>; PS operator:  $rgb->rgb_{dd}$  setrgbcolor



AI281-7, Fig. B7Wdd: anelli di Landolt W-Y<sub>d</sub>; W-N; PS operator:  $rgb->rgb_{dd}$  setrgbcolor

Input:  $rgb/cm\text{y}0/000n/w$  set...  
Output: -> $rgb_{dd}$  setrgbcolor



C<sub>d</sub>  
M<sub>d</sub>  
Y<sub>d</sub>  
N

Y  
M  
C

-8  
-6  
-4  
-2  
0  
2  
4  
6  
8